

Fig. 160. Kalkspat. Ditrigonal-skalenoedrisch. $t \{2\bar{1}31\}$; $r \{10\bar{1}1\}$.

Fig. 161. Turmalin. Ditrigonal-pyramidal. $p \{01\bar{1}0\}$; $s \{11\bar{2}0\}$; $r \{10\bar{1}1\}$; $r' \{01\bar{1}1\}$; $o \{02\bar{2}1\}$; $e \{10\bar{1}2\}$. Nach Tschermak.

Fig. 162. Quarz. Trigonal-trapezoedrisch. Rechtsquarz. $m \{10\bar{1}1\}$; $r \{10\bar{1}1\}$; $r' \{01\bar{1}1\}$; $s \{11\bar{2}1\}$; $x \{5\bar{1}61\}$.

Fig. 163. Quarz. Trigonal-trapezoedrisch. Linksquarz. $m \{10\bar{1}0\}$; $r \{10\bar{1}1\}$; $r' \{01\bar{1}1\}$; $s \{2\bar{1}\bar{1}1\}$; $x \{6\bar{1}51\}$.

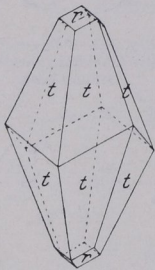


Fig. 160. Kalkspat.

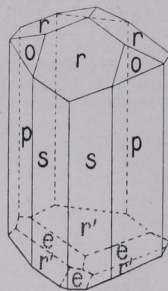


Fig. 161. Turmalin.

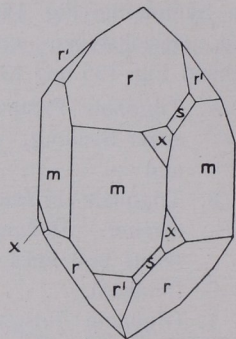


Fig. 162. Rechtsquarz.

Fig. 164. Dioptas. Trigonal-rhomboedrisch. $p \{11\bar{2}0\}$; $r \{02\bar{2}1\}$; $s \{14.13.1.6\}$.

Fig. 165. Natriumperjodat. Trigonal-pyramidal. $c \{000\bar{1}\}$; $r \{10\bar{1}1\}$; $e \{02\bar{2}1\}$; $s \{11\bar{2}3\}$.

Fig. 166. Benitoit. Ditrigonal-bipyramidal. $c \{0001\}$; $p \{10\bar{1}1\}$; $m \{10\bar{1}0\}$; $e \{01\bar{1}2\}$; $\pi \{01\bar{1}1\}$; $\mu \{01\bar{1}0\}$; $a \{11\bar{2}0\}$; $x \{2241\}$.

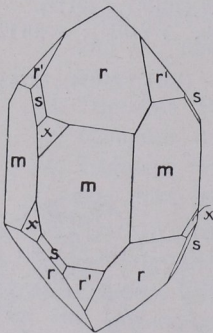


Fig. 163. Linksquarz.

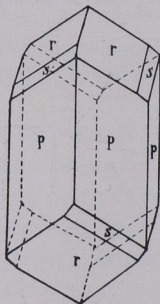


Fig. 164. Dioptas.

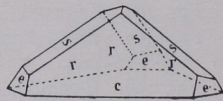


Fig. 165. Natriumperjodat.

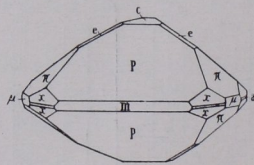


Fig. 166. Benitoit.